

06:07;12

**ПОЛУЧЕНИЕ ПЕРИОДИЧЕСКИХ СТРУКТУР  
С ШИРИНОЙ ПОЛОСЫ 0.1 МКМ КОНТАКТНОЙ  
ПЕЧАТЬЮ НА ТОНКИХ ПЛЕНКАХ СУЛЬФИДА  
МЫШЬЯКА ПРИ ИСПОЛЬЗОВАНИИ  
ИМПУЛЬСНОГО ИЗЛУЧЕНИЯ  
ЭКСИМЕРНОГО ЛАЗЕРА**

© *Л.Г.Гладышева, Н.А.Калитеевская,  
Р.П.Сейсян, Д.В.Смирнов*

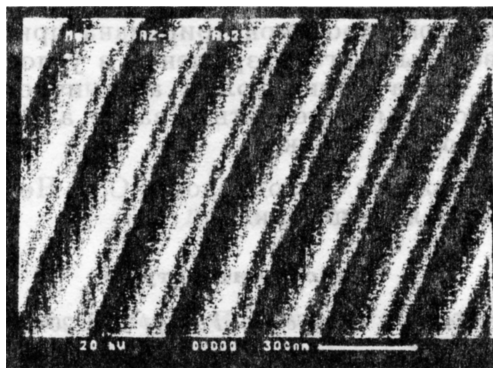
В связи с развитием субмикронной литографии, включая рентгеновскую проекционную технологию, вызывает интерес определение практического разрешения контактной литографии при использовании вакуумного ультрафиолетового (ВУФ) излучения. Такая методика позволяет на традиционных установках совмещения и экспонирования использовать в качестве источника ВУФ излучения эксимерный лазер, обладающий рядом преимуществ: высокой плотностью мощности в импульсе и строгой монохроматичности излучения.

В настоящей работе изучалось взаимодействие излучения эксимерного лазера, работающего на длинах волн 308, 248, 193 нм с широким кругом неорганических материалов, наносимых на подложку в виде тонких пленок различными методами. Среди испытанных слоев  $\text{Cr}_2\text{O}_3$ ,  $\text{Ge}_3\text{N}_4$ ,  $\text{As}_2\text{S}_3$ ,  $\text{AsSe}$ ,  $\text{SmS}$ ,  $\text{Fe}_2\text{O}_3$ ,  $\text{TiO}_2$ ,  $\text{SnO}_2$ ,  $\text{Al}_2\text{O}_3$  и ряд других [1–3]. Практически во всех этих материалах в первую очередь наблюдалась фотохромные превращения независимо от энергии в импульсе. Этот процесс, по-видимому, является бесспоровым по дозе. В то же время явно существует “красная” граница по энергии кванта  $h\nu$ . При увеличении длины волны энергия, необходимая для визуального наблюдения фотохромных превращений, практически экспоненциально растет, демонстрируя нетепловую природу эффекта. Эти процессы эффективны, если  $h\nu > E_g$ , где  $E_g$  — ширина запрещенной зоны, соответствующая кристаллическому состоянию. При некотором увеличении дозы обнаруживается возможность селективного растворения экспонированных (неэкспонированных) участков — фотостимулированное травление. При дальнейшем увеличении энергии в импульсе, начиная с некоторого порога, начинается аблятивное удаление материала слоя: происходит фотоабляция, сменяющаяся термофотоабляцией, характеризуемой более высоким порогом. Особенностью всех этих наблюдаемых процессов

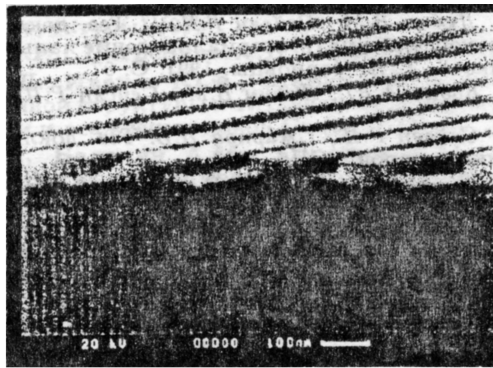
является нарушение закона взаимозаместимости: эффекты зависят не только от экспозиции  $H$ , но и от энергии в импульсе [1–3]. В некоторых случаях чувствительность к радиации столь велика, что достигает уровня наиболее чувствительных органических фоторезистов для видимой и ближней ультрафиолетовой области спектра. Одним из таких материалов оказывается AsSe, исследованный в [4], где полное проявление слоя толщиной 0.2 мкм оказалось возможным при экспозиции одним импульсом длительностью 20 нс с энергией 8 мДж/см<sup>2</sup>. Но особенно ценным для достижения высокой разрешающей способности может оказаться обнаруженный в [4,5] эффект гигантского увеличения контраста передачи изображения. Целью настоящей работы была прямая проверка возможности получения сверхвысокого разрешения контактной печати на пленках As<sub>2</sub>S<sub>3</sub> при использовании импульсного излучения эксимерного лазера.

Для измерений использовалась лабораторная установка, представлявшая собой эксимерный лазер ArF (193 нм) с длительностью импульсов 20 нс, с кварцевым конденсором, использующим растровую дифракционную линзу. При помощи поворотного зеркала создавалась относительно равномерная освещенность на площади  $D = 50$  мм образца. Лазер оптически совмещался с механической частью стандартной установки совмещения и экспонирования. В процессе эксперимента мы не предпринимали никаких специальных мер, позволяющих уменьшить зазор между образцом и шаблоном  $\delta$ , что дает основания считать его имеющим порядок 5–10 мкм. Для определения разрешающей способности использовались штриховые миры: с минимальным размером элементов  $a_{\min} = 300$  нм, изготовленная электронолитографическим способом на кварцевой пластине с хромовым покрытием, и с  $a_{\min} = 100$  нм (шаг 200 нм), изготовленная интерференционным (голографическим) методом [6] на пластинке из монокристаллического MgF<sub>2</sub> вакуумно-ультрафиолетового качества, выращенного в вакуумном реакторе, с золотым покрытием. Слои As<sub>2</sub>S<sub>3</sub> толщиной в 800–1000 Å наносились испарением в вакууме на полированые полупроводниковые подложки из кремния и арсенида галлия. Применялась комбинированная техника сухого и жидкостного проявления.

Предварительные эксперименты были выполнены на кварцевых фотошаблонах с использованием KrF в качестве активной среды (249 нм). Был получен отпечаток затвора высокочастотного полевого транзистора шириной 0.3 мкм двумя импульсами 10 мДж/см<sup>3</sup> в слое As<sub>2</sub>S<sub>3</sub> толщиной 0.2 мкм. При стандартном жидкостном проявлении хорошо воспроизводятся особенности шаблона, характеризу-



*а*



*б*

Фотография с электронного микроскопа отпечатка, полученного при помощи интерференционного фотошаблона на пленке  $\text{As}_2\text{S}_3$ . Экспозиция  $\text{ArF}$  (193 нм) излучением 50 импульсов  $E_i = 7 \text{ мДж/см}^2$ .  
*а* — вид сверху *б* — скол.

ясь довольно крутым краем (размытие  $\delta = 70 \text{ нм}$ ). Наконец, на рисунке *а* и *б* мы воспроизводим основной результат выполненного эксперимента — соответственно вид сверху и скол отпечатка, полученного при использовании интерференционного фотошаблона ( $a_{\min} = 100 \text{ нм}$ ). Анализ электронно-микроскопических изображений показывает реализацию минимального размера, характеризуемого шириной штриха  $a_{\min} = 80 \text{ нм}$ , что соответствует разрешающей способности (число штрихов на один миллиметр)  $R = 6250$ . Уменьшение ширины штриха по-видимому связано с интерференционной засветкой тени. Интересно, что край полосы  $\text{As}_2\text{S}_3$  является весьма крутым и величина  $\delta$  не превышает нескольких нанометров. Отметим также существенное “падение чувствительности”: экспозицию составили 50 импульсов  $E_i = 7 \text{ мДж/см}^2$ , тогда как для воспроизведения

затвора полевого транзистора было достаточно двух импульсов  $10 \text{ мДж}/\text{см}^2$ .

Таким образом, продемонстрирована практическая возможность сверхвысокого разрешения в условиях контактной печати, когда длина волны актиничного излучения вдвое превосходит межэлементный зазор, а зазор между шаблоном и подложкой велик.

Авторы выражают благодарность С.И. Нестерову за изготовление и проявку пленок.

### Список литературы

- [1] Бараш Е.Г., Кабин А.Ю., Сейсян Р.П. // Тез. 20 Всесоюзного конгресса. Киев, 1988.
- [2] Бараш Е.Г., Кабин А.Ю., Сейсян Р.П. Тез. IV Всесоюзн. конференции по физике диэлектриков. Томск, 1988.
- [3] Бараш Е.Г., Любин В.М., Сейсян Р.П. // Тез. докл. III Всесоюзн. научно-техн. конференции "Материаловедение халькогенидных полупроводников". Т. II. Черновцы. 1991. С. 97.
- [4] Бараш Е.Г., Кабин А.Ю., Любин В.М.. Сейсян Р.П. // ЖТФ. 1992. Т. 3. С. 106.
- [5] Бараш Е.Г., Сейсян Р.П., Смирнов Д.В. Тез. докл. международн. конф. "Оптика лазеров". СПб, 1993.
- [6] Johnson L.F., Kammlottv, Ingersoll K.A. // Appl. Optics. 1978. V. 17. N 8. P. 1165-1181.

Физико-технический  
институт  
им. А.Ф. Иоффе РАН  
С.-Петербург

Поступило в Редакцию  
11 июня 1996 г.